可用作功率放大器中电感的 RFID 标签天线的设计

于毅敏1,李建雄1,曲海涛1,毛陆虹2

(1. 天津工业大学 电子与信息工程学院, 天津 300387; 2. 天津大学 电子信息工程学院, 天津 300072)

摘 要:提出一种小型化的、谐振频率为 2.45 GHz 的 RFID 标签天线的设计方法,标签天线被设计作为差分功率放大器(PA)的谐振电感.由于使用 PCB 偶极子天线代替两个片上的集成电感,总的放大器芯片面积降低到 240 μm×70 μm.对该天线进行理论计算和实物测试,结果显示实物标签天线谐振频率为 2.45 GHz,PA 工作于 AB 类型,供电电压为 1.8 V,输入信号频率为 2.45 GHz,在 1 dB 压缩点处 PA 输出功率为 8 dBm.

关键词:射频识别;标签天线;功率放大器;谐振电感

中图分类号: TN722.1 文献标志码: A 文章编号: 1671-024X(2013)06-0072-04

Design of RFID tag antennas used as inductors in PA

YU Yi-min¹, LI Jian-xiong¹, QU Hai-tao¹, MAO Lu-hong²

(1. School of Electronics and Information Engineering, Tianjin Polytechnic University, Tianjin 300387, China; 2. School of Electronic Information Engineering, Tianjin University, Tianjin 300072, China)

Abstract: A small 2.45 GHz radio frequency identification (RFID)tag antenna is presented. The RFID tag antenna is designed as a resonance inductance of the differential power amplifier (PA). The total PA chip area is reduced greatly to only 240 μ m \times 70 μ m due to the fact that a printed circuit board (PCB) dipole antenna substitutes for the two on-chip integrated inductors. The proposed design methodology is verified by comparing the calculations and measurements, which show the tag antenna works at 2.45 GHz. Operating in Class-AB with a 1.8 V supply voltage and 2.45 GHz input signal, the PA shows an output power of 8 dBm at the 1 dB compression point.

Key words: RFID; tag antenna; power amplifier (PA); resonance inductance

射频识别(radio frequency identification, RFID)技术是一种通过无线射频方式进行非接触双向数据通信,从而对目标进行识别并获取相关数据的技术.它具有精度高、读取距离大、读写速度快、存储数据容量大、适应能力强等许多优点,得到了广泛的关注.近年来,RFID 技术发展迅速,应用于多个领域「1-3」.在设计功率放大器(power amplifier,PA)过程中,线性度和芯片面积通常是最重要的影响因素.为了实现最优的PA设计,现今涌现出许多高集成的、高线性度的PA产品,然而,在这些PA产品的设计过程中,基本都是应用片上或片外的射频电感来作为其电路的组成部分「4-5」.由于片上的射频电感会占用很大的芯片面积,进一步增加生产制造成本;而片外的射频电感会导致较低的芯片集成密度.综上所述,如何减小PA芯片上

射频电感占用面积,从而设计出总面积更小、集成化更高的 PA 芯片,成为一个热点问题.本文提出了一种偶极子标签天线,天线的输入电阻和电抗可以分别通过选择合适的几何参数来实现,这使得天线容易匹配具有小阻抗和大电抗的标签芯片^[6].本设计中标签天线作为 PA 的谐振电感,代替 PA 原有的谐振电感.原有芯片上的射频电感器总占地面积很大,生产成本将会相应增加,然而使用 PCB 天线作为 PA 电路的一部分,使 PA 在 CMOS 工艺加工下去除片上的谐振电感,可极大地减少 PA 芯片电路的总面积.

1 天线电路设计原理

本设计中, 偶极子标签天线作为 PA 电路的一部

收稿日期: 2013-06-24

基金项目: 国家自然科学基金资助项目(61072010,61372011)

第一作者:于毅敏(1988—),男,硕士研究生.

通信作者: 李建雄(1969—),男,博士,副教授,硕士生导师.E-mail: lijianxiong@tjpu.edu.cn

分,PA 电路模型如图 1 所示.

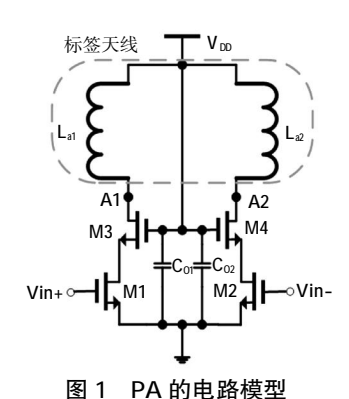


Fig.1 Schematic of PA circuit

图 1 中,M1 至 M4 为串联晶体管,与 C_{01} 、 C_{02} 都属于片上器件[7-8]. 根据天线设计理论得知, PCB 天线的输入阻抗设计是为了提供串联电感和电阻 [9]. 偶极子天线的等效电路如图 2 所示.

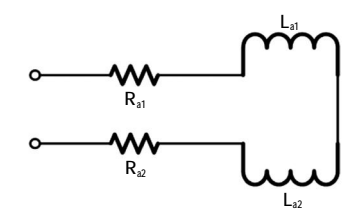


图 2 偶极子天线的等效电路

Fig.2 Equivalent circuit of dipole antenna

图 2 中, L_{a1}和 L_{a2} 为等效电感, R_{a1}和 R_{a2} 为等效辐射电阻. L_{a1}、L_{a2}、R_{a1}、R_{a2}与片上电容 C₀₁、C₀₂共同组成谐振电路, 该电路谐振在工作频率的同时滤除二次及以上的谐波. 上述的等效 RLC 谐振电路如图 3 所示.

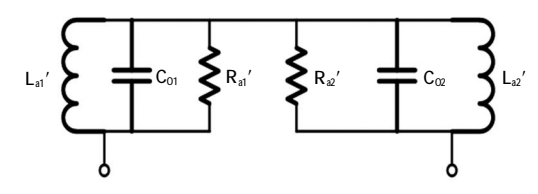


图 3 等效 RLC 谐振电路

Fig.3 Equivalent RLC resonant circuit

假设 $L_{a1}=L_{a2}=L_a, R_{a1}=R_{a2}=R_a, C_{01}=C_{02}=C_0,$ $L_{a1}{}'=L_{a2}{}'=L_a{}', R_{a1}{}'=R_{a2}{}'=R_a{}',$ 可得:

$$R_a' = R_a \times (Q_{RLC}^2 + 1) \tag{1}$$

$$L_{a}' = L_{a} \times \left(\frac{Q_{RLC}^{2} + 1}{Q_{RLC}^{2}}\right) \tag{2}$$

式中:Q_{RLC} 表示谐振电路的 Q 值,

$$Q_{RLC} = \frac{R_{a'}}{\sqrt{L_{a'}/C_0}} \tag{3}$$

PA 的最大输出功率 Pourmax 由负载阻抗 Ra'和电源

电压 V nn 决定:

$$P_{\text{OUT max}} = \frac{V_{\text{DD}}^2}{2R_{\text{a}'}} \times 2 \tag{4}$$

经过上述分析,为使电路工作在谐振频率 f=2.45 GHz 和得到理想的 Q_{RLC} ,等效电感 L_{a1} 被设计为 5 nH. 考虑寄生电容的影响,片上电容被设计为 650 fF. 在电源电压为1.8 V 时,为得到最大输出功率 10 mW,即 $V_{DD}=1.8$ V, $P_{OUT\,max}=10$ mW,代入(4)式,经过计算,可以得知: $R_a'=324$ Ω :

将 C_0 = 650 fF, L_a = 5 nH,代入(2)(3)式,经方程 计算得知: L_a' = 5.47 nH, Q_{RLC} = 3.25;

将 $Q_{RLC} = 3.25$, $R_a' = 324 \Omega$ 代入公式(1), 计算得知: $R_a = 28 \Omega$.

由此可知,天线谐振电路 $R_a = R_{a1} = R_{a2} = 28 \Omega$, $L_a = L_{a1} = L_{a2} = 5 \text{ nH}$, 则标签天线的设计阻抗为:

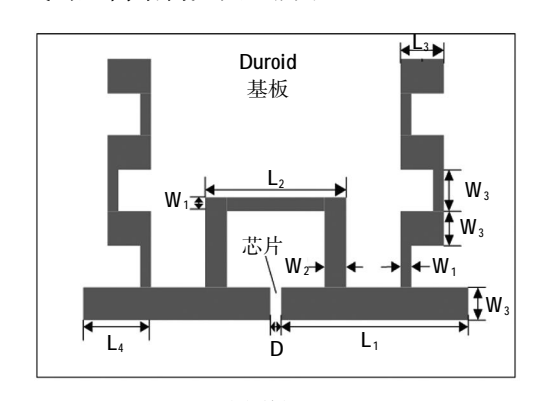
 $Z_a = 2R_a + 2jwL, w = 2 \pi f$ 代入数字计算得:

 $Z_a = 56 + j154 \Omega$.

故天线在 2.45 GHz 谐振时,阻抗为 $Z_a = 56 + j154 \Omega$.

2 天线结构

本文在仿真软件 HFSS v12 的辅助下,设计了一个工作频率在 2.45 GHz 的偶极子标签天线. 根据天线的尺寸及谐振频率要求来选择合理的天线板材及结构参数. 天线的几何结构如图 4 所示.



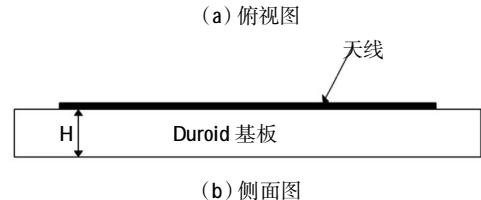


图 4 标签天线的几何结构

Fig.4 Geometry of proposed tag antenna

天线的总体尺寸为 21.91 mm × 31.5 mm; 基板材料为 Duroid,其中介电常数 ε_r = 2.2,损耗正切角 $\tan \delta$ =

0.009,厚度 H = 1 mm. 其它结构参数为: L_1 = 15 mm, L_2 = 14 mm, L_3 = 3.75 mm, L_4 = 5 mm, W_1 = 0.83 mm, W_2 = 2 mm, W_3 = 3.13 mm, D = 1.5 mm.

几种类型 PA 所占面积的比较如表 1 所示.

表 1 PA 所占面积比较 Tab.1 Comparison of PA areas

PA 的电感类型	供电电压/V	P _{1-dB} /dBm	芯片面积/mm²
片上电感[4]	3.3	24.8	1.4 × 0.75
片外电感[5]	3.3	10.6	1.5 × 1.0
本设计	1.8	8	0.24×0.70

3 仿真与测试结果

本文利用 Ansoft HFSS 软件对前文提出的天线结构进行了系统的仿真,并对仿真优化后的天线进行加工制板,最终对实物天线进行测试比较. 利用 HFSS 仿真后的模型如图 5 所示. 天线的中心频率设置为 2.45 GHz,天线的回波损耗如图 6 所示.

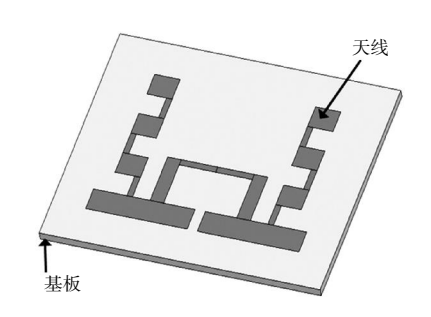


图 5 仿真模型 Fig.5 Simulation model

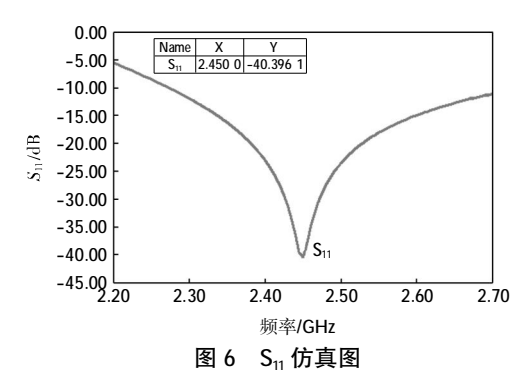


Fig.6 Simulation of antenna return loss

由图 6 可知,天线在 2.45 GHz 处谐振,谐振点处的 S₁₁ 是-40.396 1 dB,且-10 dB 带宽为 500 MHz.

图 7 所示为阻抗仿真图.

由图 7 可知,天线在 2.45 GHz 时的阻抗值为 $Z_a' =$ 52.940 2 + j154.645 9 Ω . 由前文可知,天线在 2.45 GHz

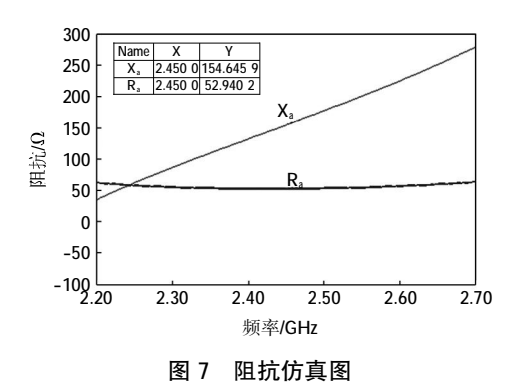


Fig.7 Simulation of antenna impedance

时的设计阻抗值为 $Z_a = 56 + j154 \Omega$,对比得知,仿真结果与理论分析计算相符.

根据上述仿真模型,对天线进行制板,实物图如图 8 所示.本文使用安捷伦公司生产的矢量网络分析仪 E5070B 对制板的天线进行测量,通过端口扩展即使用同轴线与天线芯片引出的 SMA 接口相连,从而测量天线回波损耗等参数.天线背面的引线及 SMA 焊接如图 9 所示.

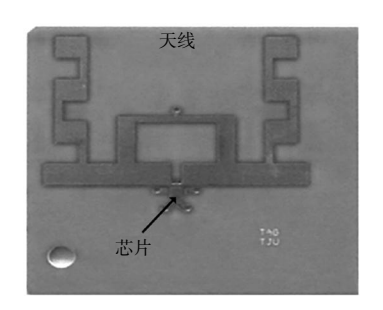


图 8 天线实物图 Fig.8 Fabricated tag antenna

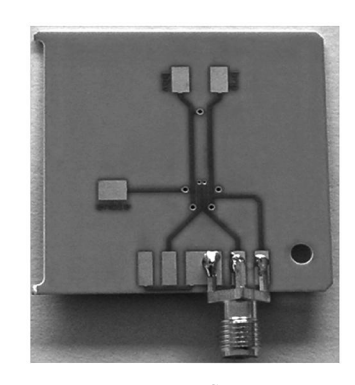


图 9 天线背面图 Fig.9 Back of fabricated tag antenna

从图 10 可以看出天线的谐振中心频率为 2.449 GHz、 S_{11} 为 -31.718 dB,与仿真设计中心频率 2.45 GHz、 S_{11} 为-40.396 1 dB 基本相匹配.

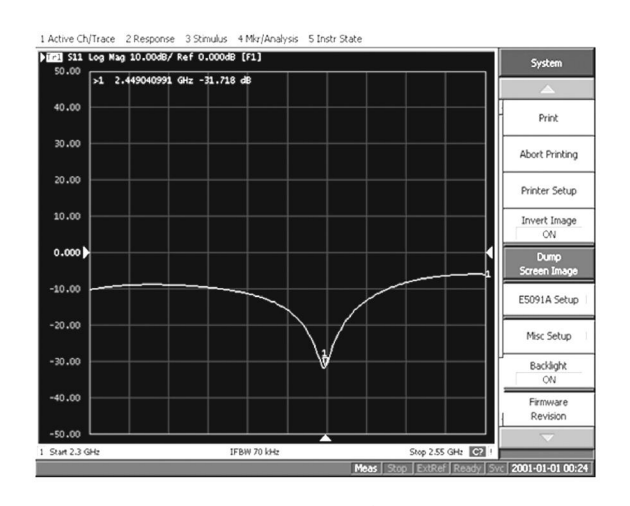


图 10 S₁₁ 测试图

Fig. 10 S_{11} of tag antenna obtained from test

图 11 所示为实际测量 PA 的输出功率曲线. 测试过程中由网络分析仪产生 2.45 GHz 输入信号,输出功率的测量采用安捷伦公司的频谱分析仪 E4402B. 测试结果表明,在电源电压为 1.8 V 的情况下,PA 的 P_{1-dB}(1 dB 压缩点)为 8 dBm,同时布线后的仿真结果如图 11 所示.

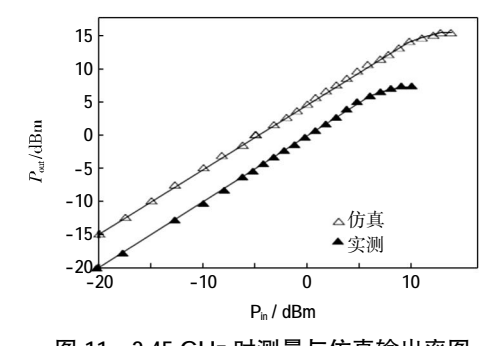


图 11 2.45 GHz 时测量与仿真输出率图

Fig.11 Measured and simulated output power at 2.45 GHz

由图 11 可知,实际测量与仿真的功率相差 5 dBm, 这主要是由于射频晶体管的精度不足和传输损耗所 导致的.

4 结束语

本文设计了一款 2.45 GHz 的 RFID 标签天线,该 PCB 偶极子天线被应用于 PA 电路中,代替原有的片

上集成电感,作为差分功放的谐振电感. 由于减少了两个片上集成电感的使用,总的芯片面积减小到只有240 μm×70 μm. 对天线的仿真模型进行加工制板,利用测试设备对样品进行相应测试,结果表明,PA工作于 AB 类型,供电电压为 1.8 V、输入信号频率为2.45 GHz,在 1 dB 压缩点处 PA 输出功率为 8 dBm. 由此建立了一种新型的 RFID 标签天线和 PA 之间的匹配方式.

参考文献:

- [1] 胡汝刚. UHF 频段射频识别系统天线研究[D]. 北京:北京交通大学,2008.
- [2] 张文锦,李建雄,毛陆虹.基于多波束切换的便携式 RFID 阅读器设计[J]. 天津工业大学学报,2013,32(1):52-56.
- [3] 马建欢,李建雄,肖康,等.太阳能电池作为天线辐射体的 RFID 标签天线的设计[J]. 天津工业大学学报,2013,32(1): 57-60.
- [4] QIAN Yongbing, LI Wenyuan, WANG Zhigong. 2.4 -GHz 0.18-μm CMOS highly linear power amplifier[C]//IEEE International Conference on Advanced Technologies for Communications. HO Chi Minh: IEEE, 2010: 210-212.
- [5] SOWLATI T, LEENAERTS D. A 2.4-GHz 0.18-μm CMOS self-biased cascode power amplifier with 23 dBm output power [C]//IEEE International Solid-State Circuits Conference, Digest of Technical Papers. San Francisco: IEEE, 2002:294-467.
- [6] CHEN Sunglin, LIN Kenhuang. A folded dipole with a closed loop antenna for RFID applications [C]//IEEE Antennas and Propagation Society International Symposium. Honolulu: IEEE, 2007:2281-2284.
- [7] KOCER F, FLYNN M P. A new transponder architecture for long-range telemetry applications[C]//Proceedings of the European Conference on Circuit Theory and Design. Cork: IEEE, 2005:177-180.
- [8] GSI Standards Knowledge Centre. EPC Radio -Frequency I-dentity Protocols: Class-1 generation-2 UHF RFID, protocol for communications at 860 MHz-960 MHz[EB/OL]. http://www.gsl.org/gsmp/kc.[2005-01-31].
- [9] CHO C, CHOO H, PARK I. Printed symmetric inverted-f antenna with a quasi-isotropic radiation pattern[J]. Microwave and Optical Technology Letters, 2008, 50:927-930.